

快速付里叶变换及其实现

D. Butler 和 G. Harvey

(英国Plessey公司)

一、引言

本文旨在讨论快速付里叶变换的基本概念和树状图的数学推导。在第二节中用树状图表示法的明显特性来表明,怎样才能得到一种新的FFT处理机,使其在速度和简单性方面均优于现有的技术。预期这种技术可以有别的应用。

本文第三节讨论了实现FFT通行的方法和它们的优缺点对比。

在第四节讨论了实现诸如互相关一类附加功能的某些方法。

如果不用快速付里叶变换(FFT)算法来计算离散付里叶变换(DFT),则具有N个抽样的算术运算次数正比于 N^2 。由于FFT算法的使用,运算次数正比于 $N\log_2 N$,所以改善的因子是

$$N^2/N\log_2 N^* = N/\log_2 N$$

抽样数很大时,其改善可很大。

于是,当N为2的乘幂时,FFT是以 $N\log_2 N$ 次运算完成N个抽样的离散付里叶变换(DFT)计算的一种方法。

1965年,Cooley和Tukey发表了概述这一方法的论文。那时,该文大多数读者认为,这是一种计算DFT的新方法。而N个抽样的DFT的运算次数与 N^2 成正比,其比例常数取决于加权函数中正弦和余弦的对称性。按照此种 N^2 方法的算法,计算机占去大量的计算时间。

这篇文章发表后不久人们就意识到,从更一般的意义上来看,事实上它是下述方法的新发现;该方法是1942年Danielson和Lanczos参照德国人Ronge和Konig 1924年的文章所采用的。Ronge和Konig的文章利用正弦和余弦级数来叙述变换N点的方法,此处N是2的乘幂,通过形成 $\log_2 N$ 个子序列,该算法以 $\log_2 N$ 倍数成倍形成这类DFT。因此, $N\log_2 N$ 次运算总数是必需的。

在使用初等计算装置的时期,由于可能的抽样数小,所以节省的时间很少。因此,直到现代计算装置的出现以前,该算法一直被遗忘了。

二、树状图的推导

本讲演向大家介绍FFT算法的几种形式,作为提出FFT处理机建议的一种基础。并且,

*此式原文有误。一译者

在数据的编排方式上，对这几种形式进行比较。

FFT算法，仅是一种计算离散付里叶变换（DFT）的有效方法。

$$F(k) = \sum_{n=0}^{N-1} f(n) W_N^{kn} \quad k=0, 1, \dots, N-1$$

式中

$$W_N = \exp\left(-\frac{2\pi j}{N}\right)$$

这是一个N点变换， $f(n)$ 是数据点， n 通常是一个时间标号。

上述的DFT直接算需要 $4N^2$ 次实数乘法和加法，而FFT只需要 $4N \log_2 N$ 次实数乘法和加法。

FFT算法之一可以这样推得：把上面的DFT和数一分为二，一个为级数的 $\frac{N}{2}$ 个奇数项组成的和数，一个为级数的 $\frac{N}{2}$ 个偶数项组成的和数（这里假设N是偶数）。这就给出FFT算法的“按时间抽取”形式。

显然

$$F(k) = G(k) + W_N^k H(k)$$

其中 $G(k)$ 和 $H(k)$ 是 $\frac{N}{2}$ 点变换，因此它们以 $\frac{N}{2}$ 为重复周期。这一点在图1中加以说明，图中 g 标示 f 的偶号点， h 标示奇号点，并用大写字母来写变换。 $N=4$ FFT框的输出以一种明显

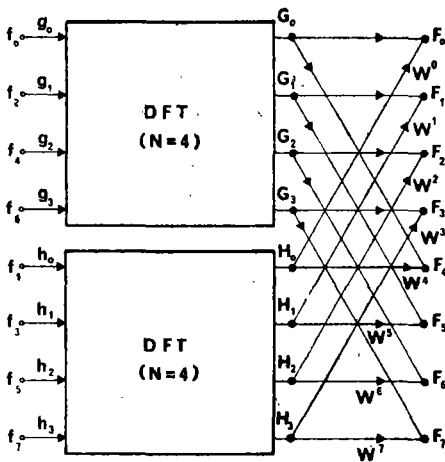


图 1

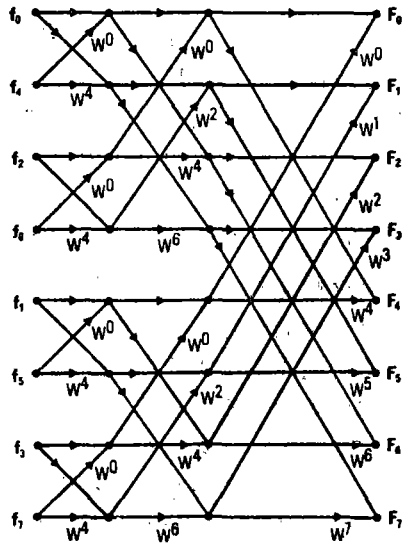


图 2

*此式原文有误。一译者

的记号组合为

$$F_0 = G_0 + W_0^0 H_0$$

$$F_1 = G_1 + W_1^1 H_1$$

等。

如果 N 是2的乘幂，这一过程经 $\log_2 N$ 步的重复，便得到图2所示的“树状图”。在每个结点处，有两条线自左边达到，取每条线另一端的数值，且乘上该线相应的权重，组成两数之和。在框图中除了另加表示的地方外，权重是1。

这种树状图是由一定的基本单位构成的，这种单位常常称作“蝶形”，如图3所示。

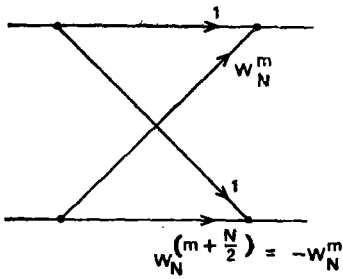


图 3

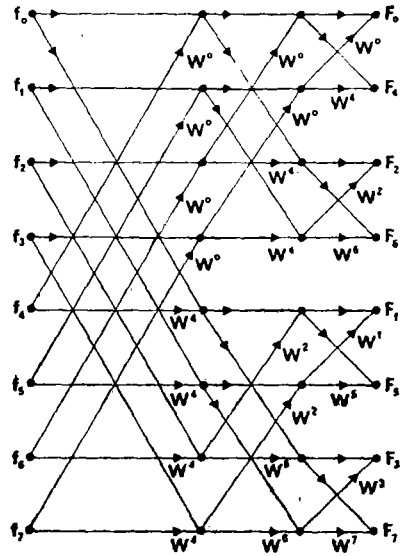


图 4

如果把图2的结点看作在某个存储器里自然存贮的位置，则树状图的这种形式，对“位反序”（或BRO）输入有“位正序”（或BO）输出，亦即，用二进制数写出存贮的位置，对给定的输入数据，存贮位置的标号有倒位的二进制数。

简单的重排导出图4，它表明对BO输入有BRO输出。决不改变算法，只是重排存储器。

算法的这两种形式共同的一个特点是计算的“置换”（“in place”）性质，亦即，用 f_0 和 f_4 去产生相同位置的中间数据，而且在计算中不再需要它们。中间数据同样可存贮在 f_0 和 f_4 的位置，这样丢去了 f_0 和 f_4 ，所以一套存储器就够了。通常并不是这种情况。

图5中重新排列的算法，给出BO输入和BO输出，计算不再按“位”，且对计算来说，现在一套存储器就不够了。这种特殊的图表是不易编排的，然而不是“置换”的一些算法确实有其另外所需的特性。

在本讲演先前说明的算法中，对存储器要求随机存取，例如图2，在不同步的计算中，要求不同位置的存取。在图6所示的树状图中，所有各步计算要求顺序地存取。后者的算法不是“置换”的，且必须用两套存储器。在第一步，位置1和2的 f_0 和 f_4 给出下一步的头一个点。从这一步到下一步，其变换的几何形状是相同的，但加权函数是不同的。对每一步来说，容纳输入数据的存储器的再循环比输出数据用的存储器快一倍。这种特殊的算法是BRO到BO。

图7给出为硬设备使用而提出的算法型式。它也需要两套存储器。输入存储器所需的两个存取点相隔 $\frac{N}{2}$ 个点。在图7中，点 f_0, f_1, f_2, f_3 存放在存储器的一半， $f_4, f_5, f_6,$

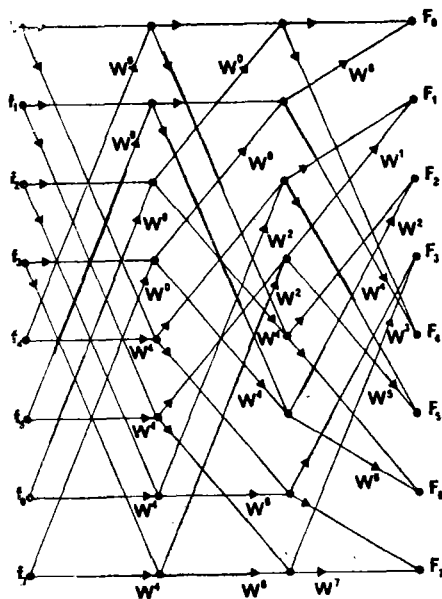


图 5

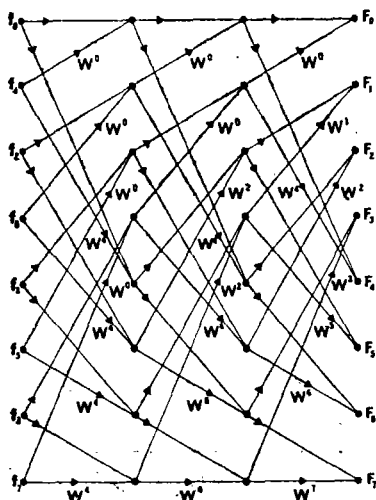


图 6

f_7 存放在存贮器的另一半。用 f_0 和 f_4 给出输入的头两个点，等等。只是对输入存贮器下面一半的输出应用加权。在这种情形中，输出存贮器的再循环比输入存贮器快一倍。一步一步变换的几何图形是相同的，使得硬设备实现更加简单。该算法是BO到BRO。

采用称做为“按频率抽取”方法，可以推导出一种不同的算法。不是把初始数据分成一个对偶数编号项求和，一个对奇数编号项求和，而是变为由一个 $\frac{N}{2}$ 点序列的DFT推导出每一个

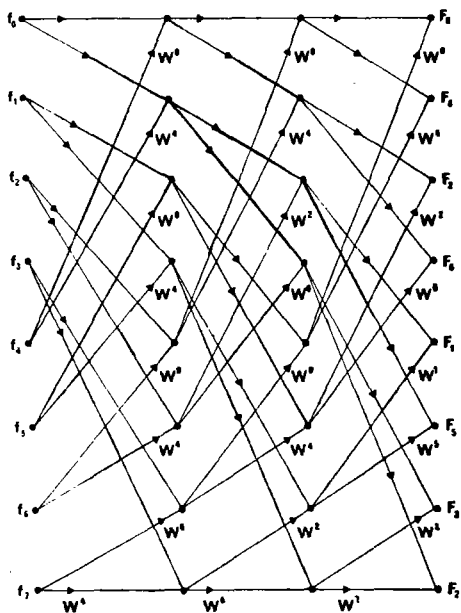


图 7

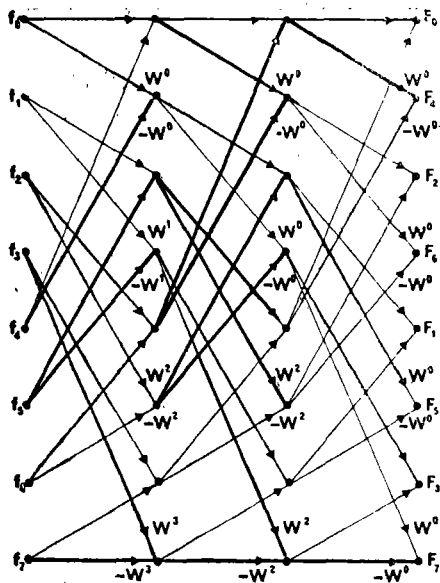


图 8

偶数编号变换函数 F_0, F_2, F_4, F_6 , 由另外 $\frac{N}{2}$ 点序列推导出奇数编号变换函数。这样导致算法相同, 但结构不同。

在图 8 中给出的是等价于图 7 的一种算法。这也是BO到BRO, 但是各自所需的加权函数的次序不同, 现在是自然次序。在硬设备的一些形式中, 这可是方便的。当需求卷积和互相关时, 兼有按时间抽取和按频率抽取两种算法是特别方便的。这时一种算法可用于变换, 而另一种算法可用于反变换, 因此数据不需要重排。而如果这两个变换用同一种算法, 数据就要重排了。

三、一种串行的FFT处理方法

如上所述, FFT算法可用树状图的几何图形来表示, 图 9 中的 8 点变换是一个例子。为

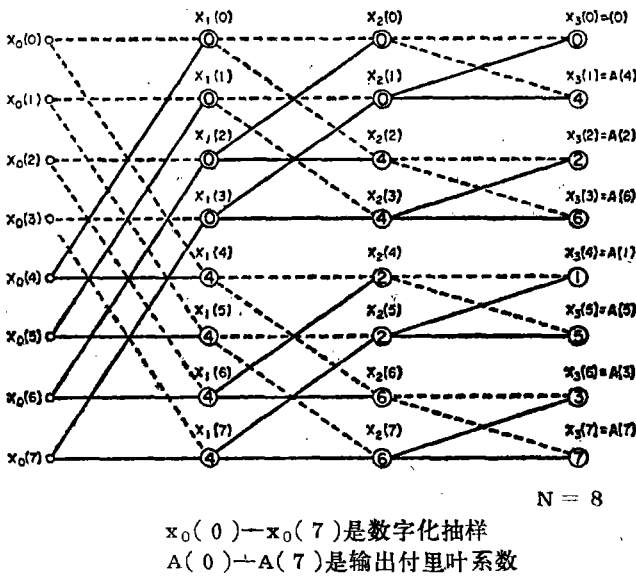


图 9

了简化硬设备讨论, 这里已画成一种稍不同于图 1—8 的形式。

下面给出的说明, 概括了该图的基本性质, 以及它们同处理机设计的关系。

(i) 用左边结点的垂直列代表抽样数据: 如示出的 8 个样点 $x_0(0)$ 到 $x_0(7)$ (x 的下标指垂直列)。第二垂直列 (x_1) 相当于在第一列上运算所得的中间系数, 第三列 (x_2) 相当于在第一和第二列上运算所得的系数。最后的垂直列是一些最后的系数 (x_3), 就是最后的变换系数 $A(n)$ ($n=0-7$)。

(ii) 所需的算术运算是用连接结点的线和围着该结点的数一起来确定的。每个结点代表一个复数乘法和一个复数加法。进入一结点的两条线确定了由前一列来的两个系数, 将它们相加, 其中的一个先乘以加权函数。虚线代表前面系数的简单传送。实线代表前面的系数乘以加权函数, 加权函数的值与结点圆内写出的数有关。(精确的关系式是 W^z 形式, 其中 W^z 是加权函数的值, z 是结点圆内所示的一个整数。它通常称为加权函数指数值。)

例如, 系数 $x_1(0)$ 是由系数 $x_0(0)$ 和 $x_0(4)$ 运算形成的, 它由下式确定:

$$x_1(0) = x_0(0) + W^0 \cdot x_0(4)$$

(iii) 第二个系数 $x_1(4)$ 也是由系数 $x_0(0)$ 和 $x_0(4)$ 运算来确定, 即

$$x_1(4) = x_0(0) + W^4 \cdot x_0(4)$$

这样一对加权函数之间存在着一种有规则的关系式, 简化了处理机的结构和加权函数存贮。每对加权函数用来由前面的两个系数产生两个系数, 其指数值相差 $N/2$, 此处 N 是变换中的点数。

对这样的一对加权函数来说，加权函数的值大小相等，但符号相反。

对 $N=8$ 而言， $W^4=-W^0$ ， $W^5=-W^1$ ，等等。

这一特性导致与变换有关的“和与差”处理方法，即由一对系数同时形成下一步中两个相应的系数，在形成一个系数时权函数用正值，在形成另一个时用负值。因此，用 $x_0(0)$ 分别乘以 W^0 和 $-W$ ，所得结果加上 $x_0(0)$ ，便形成 $x_1(0)$ 和 $x_1(4)$ 。在所有提出的系统中，同时提取两个系数，同时形成两个系数。

(iv) 在所用的树状图的这种情形，它相当于一种特殊的FFT算法，输入数据是按时间次序的形式（参看图7）。由于算法固有的性质，得到的输出系数不是按频率次序的；事实上，他们是按“位反序”（BRO），即如果用二进制记数法来表示最后的系数 x 的位值，把该二进制数左右掉换，这样得到的二进制数是系数 A 的位值。以8点为例，则 $x_3(0)$ 对应于 $A(0)$ ， $x_3(1)$ 对应于 $A(4)$ ， $x_3(3)$ 对应于 $A(6)$ ，等等。

(a) 树状图性质在处理机设计方面的作用

假设起始输入存储器存满抽样。由树状图表明，对于第一垂直列的运算，在变换的第一次“通过”期间，所需的系数对相隔 $N/2$ 个字。在第二次通过期间，对第二列的运算产生第三列，系数对相隔 $N/4$ 个字。这种间隔收缩是逐步进行的，一直到最后一次通过时系数对相邻为止。在处理机存储器的设计上这些性质的含意是，或者需要某种重复存取的存储器，或者数据的存贮和结构必须按某种补偿方法排列。

(b) 存储器的结构

为了利用串联的MOST**个寄存器成本低的优点，必须进一步考察图9的树状图。

图中左边一列抽样数据，即 $x_0(0)$ ， $x_0(1)$ ，... $x_0(7)$ 是按字对计算所必需的。在后面各步计算中，这些字对是变化的，但在任何特定的步总是确定的。

就8点变换而言，表1列出每一步所需的字对。

表 1

	第 一 步	第 二 步	第 三 步
字 对	$x_0(0)$ 和 $x_0(4)$	$x_1(0)$ 和 $x_1(2)$	$x_2(0)$ 和 $x_2(1)$
	$x_0(1)$ 和 $x_0(5)$	$x_1(1)$ 和 $x_1(3)$	$x_2(2)$ 和 $x_2(3)$
	$x_0(2)$ 和 $x_0(6)$	$x_1(4)$ 和 $x_1(6)$	$x_2(4)$ 和 $x_2(5)$
	$x_0(3)$ 和 $x_0(7)$	$x_1(5)$ 和 $x_1(7)$	$x_2(6)$ 和 $x_2(7)$

联系表和树状图来看，第一步变换所需的字对相隔4个抽样，需要全部的字对；在第二步变换，这些字对相隔2个抽样，不必要全部的字对；在第三步变换，这些字对是邻接的，又不必要全部可能的字对。如果最初的抽样 $x_0(0)$ ，... $x_0(7)$ 是串联存贮的，则对第一次通过来说，需要在 $x_0(0)$ 和 $x_0(4)$ 位置存取。第二次通过需要在 $x_0(0)$ 和 $x_0(2)$ 位置存取，第二次通过的后一步在 $x_0(4)$ 和 $x_0(6)$ 位置存取。第三次通过需要在每个字位置存取。这在下面的表2中说明，表中*代表变换的各步的存取点。

* 原文误为 w_0 。——译者

** 金属氧化物半导体场效应晶体管。——译者

表 2

抽 样	$X_o(0)$	$X_o(1)$	$X_o(2)$	$X_o(3)$	$X_o(4)$	$X_o(5)$	$X_o(6)$	$X_o(7)$
需要存	*				*			1
取的所在	*		*		*		*	2
步	*	*	*	*	*	*	*	3

这些结果推广到2048点的变换,即11步变换,要实现该系统就需总数23的存取点。

另一个方法是,存取点数不变,改变MOST寄存器内的数据,使所需的字对在存取点总可得到。这种不含重复移位的构造方法示于图10。在记忆存贮器的每一段只需两个存取点,供多路复用的每个记忆存贮器,在下次变换阶段和与它相配的记忆存贮器交换。

寄存器的钟频是 f 和 $2f$ 。

对照表1和树状图,正确的字对可看作是在变换的每一步存取的。利用“和与差”方法,相应的计算字对是顺序存贮的,后面的字对是从输入寄存器存取的。二者同时进行。由于变动数据,存取在不重叠的时间内得到。完成这一过程的速度上的限度,现在由MOST移位寄存器最大工作频率 F_t 来确定。目前这一方法的计算时间是几个毫微秒,与提出的MOST存贮器存取时间一致。

实现这种串联的FFT,其完整的系统框图示于图11。

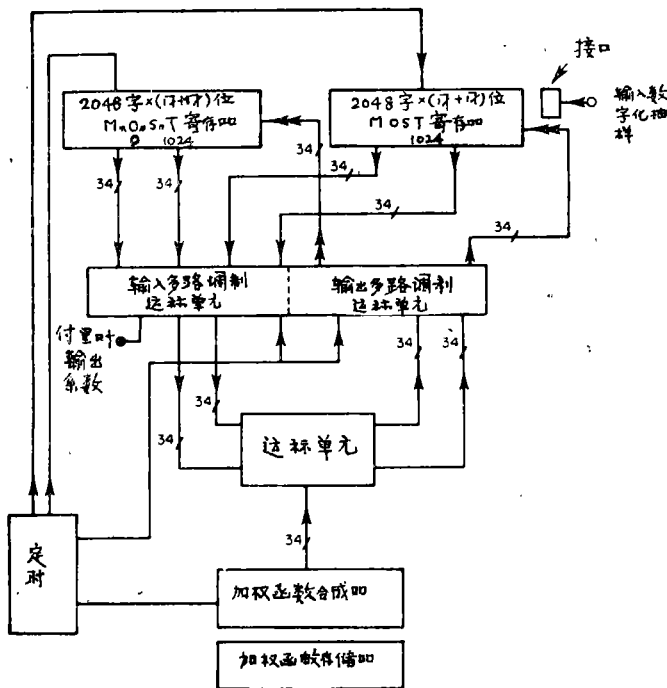
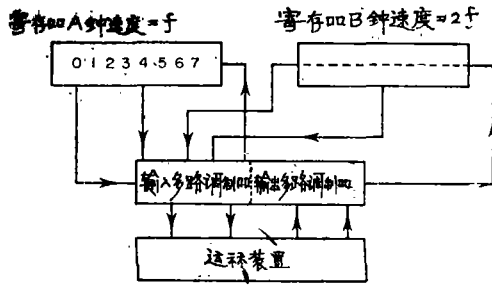


图10 FFT框图

从上文可以看到,能够实现一种串联的FFT系统。它与传统的构造方法相比主要有高速计算的优点。在2.5毫秒内能处理2048个复数点。



	寄存器A 在 f	寄存器B 在 $2f$	
存取*	0 1 2 3 4 5 6 7		
	* *		
	1 2 3 4 5 6 7 -	- - - - - 0 4	in ←
	* *		
第一次通过	2 3 4 5 6 7 - -	- - - - - 0 4 1 5	in ←
	* *		
	3 4 5 6 7 - - -	- - 0 4 1 5 2 6	in ←
	* *		
	4 5 6 7 - - - -	0 4 1 5 2 6 3 7	in ←

in—表示在寄存器B 的末端串行输入两个计算的值

	寄存器A 在 $2f$	寄存器B 在 f	
		* *	
	6 7 - - - - 0	2 in	4 1 5 2 6 3 7 -
第二次通过	- - - - 0 2 4	6 in	1 5 2 6 3 7 - -
交换寄存器	- - 0 2 4 6 1	3 in	5 2 6 3 7 - - -
	0 2 4 6 1 3 5	7 in	2 6 3 7 - - - -
	寄存器A 在 f	寄存器B 在 $2f$	
	* *		
第三次通过	2 4 6 1 3 5 7 -		3 7 - - - - 0 1 in ←
交换寄存器	4 6 1 3 5 7 - -		- - - - 0 1 2 3 in ←
	6 1 3 5 7 - - -		- - 0 1 2 3 4 5 in ←
	1 3 5 7 - - - -		0 1 2 3 4 5 6 7 in ←

f 和 $2f$ 系统

图 11

四、FFT处理方法

1. 软设备

按照前面的解释，首先是用通用计算机和软件来执行FFT。这意味着，对系数和加权函数的存贮使用随机存取磁芯存贮器。由于磁芯循环时间是1微秒（这对于大多数通用计算

机是典型的), 对于实现FFT算法存在一个速度的限制。对大多数通用计算机来说, 实现FFT的软件是容易做到或书写的, 但缺点是执行1024个字变换要用若干秒时间。

2. 平行处理机

从树状图看到, 在运算单元中引入平行化可提高处理速度。采用不同程度平行化的处理机已经构成, 上限是阵列处理机, 其中全部算术运算是平行进行的。虽然, 采用此种处理器可达到极快的处理时间, 但是, 由于该设备的费用和大小的原因使它局限于最特殊的应用。

3. FFT外围设备

处理机的范围已扩展到相当于通用计算机的外围设备。

最简单的形式是一个与通用计算机联用的高速运算单元。

更完善的FFT外围设备有其自己的存贮器和运算单元。一台通用计算机可用于数据的编排、与外围设备间的字组转移和系统编排。——这些专用外围设备比单纯FFT能完成更多的功能。这些功能在第五节中说明。可实现高的处理速度。

五、其它功能

基本的FFT处理机可用来完成如下所说的其它功能。

1. 褶积

若两个频率函数 $G(f)$ 、 $H(f)$ 之积是 $C(f)$, 即

$$C(f) = G(f) \cdot H(f) \quad (A)$$

这个乘法可用于由频域到时域的反变换形式。得到的时间函数 $c(t)$ 叫做时间序列 $g(t)$ 、 $h(t)$ (分别为 $G(f)$ 、 $H(f)$ 的时间函数)的褶积。其数学描述是:

$$c(t) = \frac{1}{N} \sum_{\tau=0}^{N-1} g(\tau)h(t-\tau) \quad (B)$$

为使这个和数有意义, 对时间函数 $h(t)$ 有一个规定, 就是

$$h(t) = 0 \quad \text{对 } t < 0 \quad (C)$$

如果这种处理是利用FFT处理机来进行的, 则表面看似乎只是一项建立方程(A), 然后由反变换形成方程(B)的简单任务。事实上并不是这种情形, 因为对 $h(t)$ 的附加条件没有满足。这是因为FFT处理机假定了时间函数 $h(t)$, $g(t)$ 在抽样区间外边是周期地延续的, 即:

$$h(t+rN) = h(t) \quad \begin{aligned} 0 \leq t < N-1 \\ r=0, 1, \dots, S, \dots \end{aligned}$$

因此, 为了在系统中克服这一缺点, 用下法对信号添加0:

令

$$g_1(t) = g(t) \quad 0 \leq t < N/2 \quad (D)$$

$$0 \quad N/2 \leq t < N \quad (E)$$

$$h_1(t) = h(t) \quad 0 \leq t < N/2 \quad (F)$$

$$0 \quad N/2 \leq t < N \quad (G)$$

(1) 建立方程(D)、(E)、(F)、(G)。

(2) 形成 $g_1(t)$ 、 $h_1(t)$ 的FFT, 即 $G_1(f)$ 、 $H_1(f)$

(3) 形成乘积 $C(f) = G_1(f) \cdot H_1(f)$ (H)

(4) 形成反变换 $c(t)$, 从而确定方程(B)。完成这些处理总的的时间是三次FFT时间加上形成方程(H)的N个乘法的时间。

2. 互相关

用类似于上述褶积的和数来定义两个信号 $g(t)$ 和 $h(t)$ 之间的互相关和数, 即

$$c(\tau) = \frac{1}{N} \sum_{\tau=0}^{N-1} g(t) \cdot h^*(t-\tau) \quad (\alpha)$$

式中 $*$ 是复数共轭, 且对 $t < 0$ 来说, $h(t) = 0$ 。

用FFT处理机来求得这个乘积, 所采用的方法类似于上面在褶积中叙述的方法。

当完成由 (α) 式描写的时间序列变换到频率序列的时候, 方程的形式是

$$C(f) = G(f) \cdot H^*(f) \quad (\beta)$$

所以, 与前面所述方法不同之处只是用方程 (β) 来代替方程(H)。

3. 自相关

自相关乘积用以下和数定义:

$$c(\tau) = \frac{1}{N} \sum_{\tau=0}^{N-1} g(t) \cdot g^*(t-\tau) \quad (a)$$

方程(a)的变换是

$$C(f) = G(f) \cdot G^*(f) \quad (b)$$

我们立刻可看出, 这个处理肯定是较快的, 因它省去了第二个函数FFT的计算。

该处理过程叙述如下:

(1) 形成 $g_1(t) = g(t) \quad 0 \leq t < N/2$ (c)

$0 \quad N/2 \leq t < N$ (d)

(2) 形成 $g_1(t)$ 的FFT, 即 $G_1(f)$ 。

(3) 形成乘积 $G_1(f) \cdot G_1^*(f)$, 即 $G_1(f)$ 的模。

(4) 形成这个模的FFT反变换, 给出自相关系数。

如同在互相关中一样, 当抽样持续时间超过 $N/2$ 个抽样时, 该处理可扩展。

4. 互谱分析

两个时间函数 $x(t)$ 、 $y(t)$ 的互谱是用互相关系数 $C_{xy}(\tau)$ 来定义的。

$$R_{xy}(f) = \frac{1}{N} \sum_{\tau=0}^{N-1} C_{xy}(\tau) e^{-2\pi i f \tau / N} \quad (\alpha)$$

为了采用FFT处理机来做到这点，利用下面事实：

$$R_{xy}(f) = X_1(f) \cdot Y_1^*(f) \quad (\beta)$$

式中 $X_1(f)$ 和 $Y_1(f)$ 是用下面的输入函数 $x(t)$ 、 $y(t)$ 来定义的：

$$x_1(t) = x(t) \quad 0 \leq t < N/2 \quad (\gamma)$$

$$0 \quad N/2 \leq t < N \quad (\delta)$$

$$y_1(t) = y(t) \quad 0 \leq t < N/2 \quad (\epsilon)$$

$$0 \quad N/2 \leq t < N \quad (\mu)$$

$X_1(f)$ 、 $Y_1(f)$ 分别是 $x_1(t)$ 和 $y_1(t)$ 的变换。

所以该方法等同于互相关分析，一直到它包括的第(3)步，但没有FFT反变换。

六、谱 频 谱

用FFT处理机和外围计算机计算谱频谱是容易实现的。

方法是：

(1) 对时间序列 $x(t)$ 作FFT处理。

(2) 再排处理机输出。

(3) 结果写成复数形式 $a + ib$ 。然后，根据语言分析的谱频谱的定义，计算机取这种复数的对数。

$$a + ib = Re^{i\theta} \quad \text{其中 } R = \sqrt{a^2 + b^2}$$

$$\text{和 } \theta = \tan^{-1}\left(\frac{b}{a}\right)$$

所以 $\log_e(a + ib) = \log_e R + i\theta$ 。

这仅仅在开头 $N/2$ 个结果上进行。

(4) 序列 $\log_e R$ 按频率次序置放在实数寄存器里， θ 放在虚数寄存器里。

(5) 对这个按频率次序排的序列进行一次FFT，以形成谱频率 (quefreny) 序列。

(6) 再次排成一个谱频率次序的序列。

自FFT的第一次通过以后只使用 $N/2$ 个抽样的理由等价于在一个时间次序序列上的Nyquist 抽样准则。

若最高可分辨频率是 f ，则谱频率序列以 f 的倒数即 $\frac{1}{f}$ 作为它的“频率”。谱频谱则形成序列

$$\left(0, \frac{1}{f}, \frac{2}{f}, \dots, \frac{f/2}{f} \right) \text{秒}$$

作为谱频率序列。如果 $f < 1$ ，则最大可分辨的谱频率是 $\frac{1}{2}$ 秒，即在频谱上是2赫。

討 論

问：根据我在FFT硬设备方面的有限经验，似乎这些设备比与之配合工作的计算机更昂贵，因此它们局限于非常专用的模拟。鉴于这一点，你们考虑过更有限的程序，例如基4的算法吗？

G. Harvey：我们同意有关FFT分析器价格的看法。市場上早期的FFT分析器含有许多设备，因为那时制造商不确定需要的是什么。这样促使了价格的提高。我们没有考虑过基4的算法。

在市場上腾贵了一个时期，价格就会回跌。硬设备的制造很容易做到在一个基片上做大量的运算。

I. G. Libbell：請你谈一谈，鉴于什么基本理由，不能有一种位正序输入、位正序输出且是“置换”的FFT？象快速Walsh变换就是这样一种算法。

D. Butler：基本的道理我不知道，我也不知道有这些性质的算法。

(单荣华译 丁达夫 孙允恭校)